延長床版システムを例とした橋梁アプローチ部のノージョイント化に関する数値的検討

東北大学大学院工学研究科 学生員 塚田 宗政 東北大学大学院工学研究科 員 岩熊 哲夫 正 東北大学大学院工学研究科 員 斉木 功 正 東北大学大学院工学研究科 正員 山田 真幸

1. まえがき

橋梁のジョイント部は伸縮装置の破損や雨水流入による遊間部下の主桁の劣化等,橋梁の弱点とされているため,ノージョイント化は望ましい方向と考えられる.現在はダブル埋設ジョイント¹⁾や延長床版システム¹⁾があり,これらを参考にノージョイント化²⁾が検討されているが,床版コンクリートに生じる圧縮応力が大きく安全性が低いこと,有限要素モデルの要素が荒く隅角部の処理が適切でないことなどの問題がある.本研究では,有限要素モデルの細メッシュ化や隅角部の面取りをモデルに反映することで解析精度を向上させた上で,より安全性の高いノージョイントモデルを考案し,片側および両側ノージョイント化の可能性を検討する.

2. 解析モデル

長篠大橋 (橋長 $80\,\mathrm{m}$, アーチライズ $11\,\mathrm{m}$, 幅員 $10.4\,\mathrm{m}$) の設計データを参考に鋼アーチ橋モデルを作成し,これを解析対象とした.ただし基礎的な検討として延長床版部や桁端部の床版の挙動を把握す

表-1 使用材料の特性値

	鋼材・鉄筋	コンクリート	ゴム
弾性係数 (N/m^2)	2.000×10^{11}	2.800×10^{10}	3.576×10^{6}
ポアソン比	0.30	0.20	0.49
密度 (kg/m³)	7850	2345	1200
線膨張係数 (/°C)	1.2×10^{-5}	1.0×10^{-5}	1.0×10^{-4}

るため,舗装や高欄等の付属物,ハンチ等は省略した.有限要素モデルは,アーチ橋の横桁とアーチリブ・ポストは梁要素,縦桁と補剛桁はシェル要素,床版のコンクリート部分はソリッド要素,鉄筋は梁要素で構成した.アーチ橋の境界条件は,アーチリブ両端のヒンジ支承を再現して,橋軸直角方向回転のみ自由とした.ノージョイントモデルの橋台の境界条件は,橋台背面は完全拘束,橋台下面は鉛直方向のみ拘束とした.底版の境界条件は,橋軸方向側面は橋軸直角方向のみ拘束,橋軸方向前面と背面は橋軸方向のみ拘束,下面は完全拘束とした.解析は,汎用有限要素構造解析ソフト NX NASTRAN を用い,床版と底版の接触等を考慮した接触解析を行った.また,供用中の床版の損傷を確認することが主目的であるため,材料は線形弾性とした.解析に用いた材料の特性値を表ー1に示す.荷重は,死荷重と活荷重(B 活荷重,L 荷重), ± 25 の温度荷重を与えた.安全判断の基準は,圧縮側は設計基準強度 $30 \mathrm{MPa}$ のコンクリートの許容応力度設計法で定められる許容曲げ圧縮応力度 3) $11 \mathrm{MPa}$ を基準とし,引張側はコンクリートの許容ひび割れ幅 3) から算定した鉄筋の引張強度 $87.50 \mathrm{MPa}$ を基準とした.

3. 片側ノージョイント化

延長床版部の長さや切込隅角部の長さ等を検討した後,図-1に示すノージョイントモデル(以下,NJ)を橋梁片端のみに採用し,切込隅角部に挟んだゴムの弾性係数について検討した.切込隅角部は,下側床版が上側床版に対して相対的に鉛直方向上向きに変位することで隅角部が閉じるような挙動となり,隅角部内側(D点)に大きな圧縮応力が生じるため,間に挟んだゴムの弾性係数を変えることで生じる圧縮応力を低減する.解析結果を表-2に示すが,表中のアルファベット(A~D,T)は、図-2に示す変形図中のアルファベット

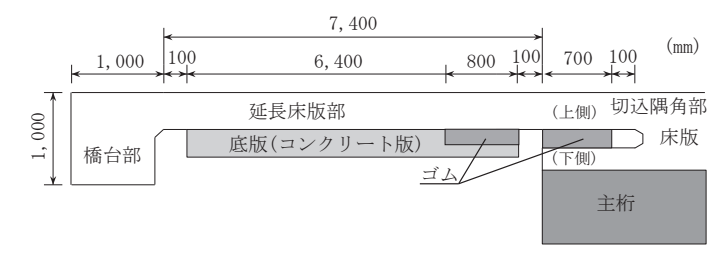


図-1 片側ノージョイントモデルの概略図



図-2 片側 NJ, 変形図 ($+25^{\circ}$ C, L2)

Key Words: 延長床版 , ノージョイント , FEM 解析

が示す位置に対応する.この概要では ゴムの弾性係数の影響を記すが, それが 表-1の1倍・2倍の時はD点に生じる 圧縮応力が圧縮強度を超えているが,5 倍・10倍の時は圧縮強度を超える箇所は 無かった.解析から,隅角部に挟んだゴム の弾性係数を大きくすることで D 点に生 じる圧縮応力を小さくできることが確認で きたが,一方で,床版が切込部に挟まれた ゴムと接触する面(C点)に生じる圧縮応 力が大きくなる傾向にある.ゴムの弾性

係数が5倍の時,各照査位置に生じる最大圧縮応力が最 小となるので,切込隅角部に挟んだゴムの弾性係数を5 倍にしたモデルを片側 NJ モデルとして提案する.

4. 両側ノージョイント化

3.で提案した NJ モデルを橋梁の両端に採用して両側 ノージョイント化を試みた.橋台背面の境界条件を完全 拘束とした時の解析結果が表-3の背面土のモデル化な しの値であるが,圧縮・引張ともに強度を上回る応力 が生じたため,簡易的に背面土を弾性材料としてモデ ル化し,橋台が水平方向に変位できる状態で検討した. 図-3に示す背面土の領域サイズは,橋台部や延長床版 部に生じる応力が背面土の領域サイズに依存しないよ うに考慮している.背面土の弾性係数は $8.5 \mathrm{MN/m^2}$ と $85 MN/m^2$ の 2 種類 , ポアソン比は 0.3 とした . 変形図 の一例を図-4に示すが、-25°C で荷重パターン L1 の 時に,背面土の弾性係数によらず延長床版部下面が底版 と接触する部分(B点)に生じる圧縮応力が最大となり, $8.5 \mathrm{MN/m^2}$ の時は圧縮強度以上の応力が生じている. -25°C の温度荷重を与えている時は , 橋梁部の鉛直方向 下向きのたわみ量が大きいため, B 点付近に生じる圧縮 応力が増加する、背面土の弾性係数およびノージョイン ト構造について, さらに検討が必要である.

5. おわりに

本研究では簡易的に地盤モデルを導入したことによ り,延長床版システムを例にした橋梁の両側ノージョイ ントモデルの供用時の安全性を示した.また,橋台と床参考文献 版を一体とした橋梁形式では、温度変化による橋台の水 平変位を許容しなければならないことが明らかとなり、 背面土の挙動も十分に考慮した上で,本構造を再検討す る必要があるだろう.

表-2 片側 N.J. 切込部に挟んだゴムの弾性係数の比較

照査位置		ゴムの弾性係数				
		×1	×2	×5(提案)	×10	
	A	10.94	10.87	10.76	10.69	
最大圧縮 応力 (MPa)		(TP, L6)	(TP, L6)	(TP, L6)	(TP, L6)	
	В	10.73	10.74	10.84	10.90	
		(TP, L1)	(TP, L1)	(TP, L1)	(TP, L1)	
	С	8.52	8.65	9.54	10.65	
		(TP, L2)	(TP, L2)	(TP, L2)	(TP, L2)	
	D	11.89	11.34	9.25	6.93	
		(TP, L2)	(TP, L2.5)	(TP, L1)	(TP, L1)	
最大引張	Т	65.84	65.85	65.73	66.10	
応力 (MPa)	1	(TM, L1.5)	(TM, L1.5)	(TM, L1.5)	(TM, L1.5)	

 $TP: +25^{\circ}C$, $TM: -25^{\circ}C$, Lx: 荷重パターン

表-3 両側ノージョイントモデルの解析結果

照査位置		橋台背面土のモデル化 $({ m N/m}^2)$			
		なし	8.5×10^{7}	8.5×10^{6}	
	A	28.08	6.84	1.97	
最大圧縮 応力 (MPa)		(TP, L3)	(TP, L3)	(TP, L2)	
	В	19.93	10.62	11.88	
		(TP, L1)	(TM, L1)	(TM, L1)	
	С	19.98	7.84	8.82	
		(TP, L2)	(TP, L2)	(TM, L1)	
	D	24.11	8.28	9.18	
		(TP, L2)	(TP, L1)	(TP, L2)	
最大引張	Т	149.77	66.95	64.22	
応力 (MPa)	1	(TM, L2)	(TM, L1)	(TM, L1)	
橋台端部最大		FIX	伸び 15.6	伸び 18.9	
水平変位 (mm)			縮み 16.5	縮み 19.9	

 $TP: +25^{\circ}C, TM: -25^{\circ}C, Lx:$ 荷重パターン

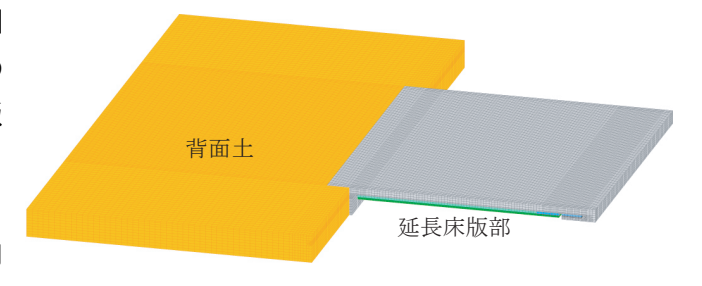


図-3 延長床版部と背面土のメッシュ図



図-4 両側 NJ(背面土 8.5MN/ m^2), 変形図 (-25°C, L1)

- 1) (財)高速道路技術センター: 橋梁ジョイント構造の設計・施 工に関する技術検討 報告書,2005
- 2) 土井恵介, 岩熊哲夫, 斉木功, 山田真幸: 延長床版のノージョイ ント化の関する数値的検討、土木学会東北支部技術研究発表会講 演概要集 CD, 2010
- 3) 土木学会:コンクリート標準示方書, 構造性能照査編, 2002